

1/17

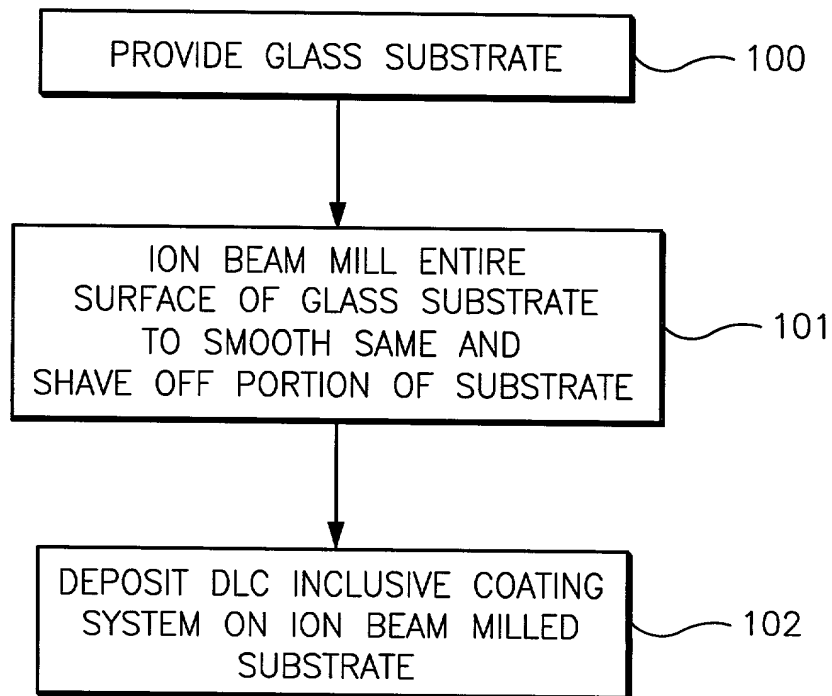


Fig. 1

2/17

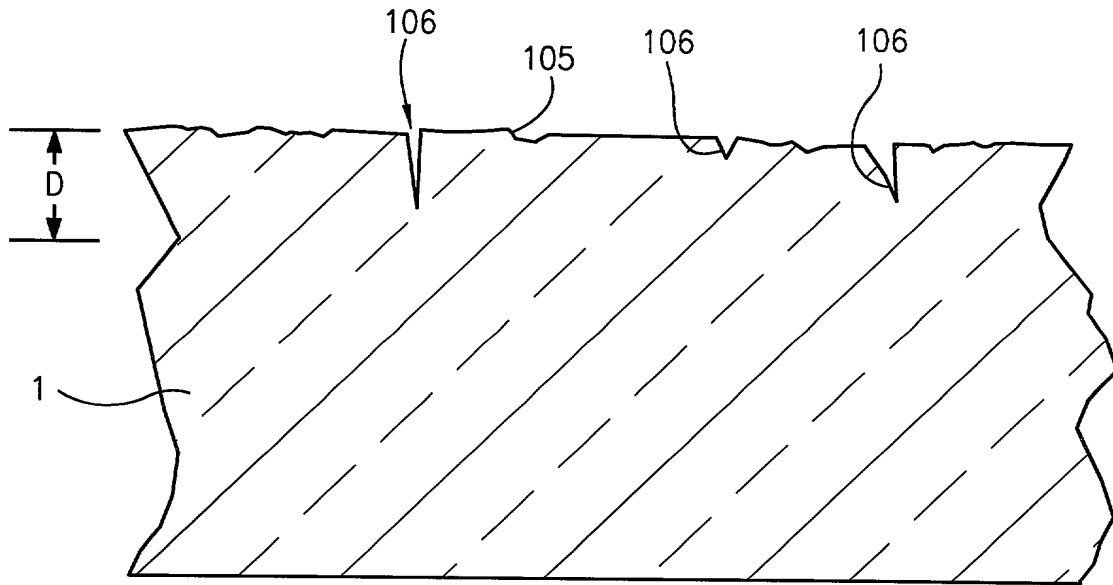


Fig. 2

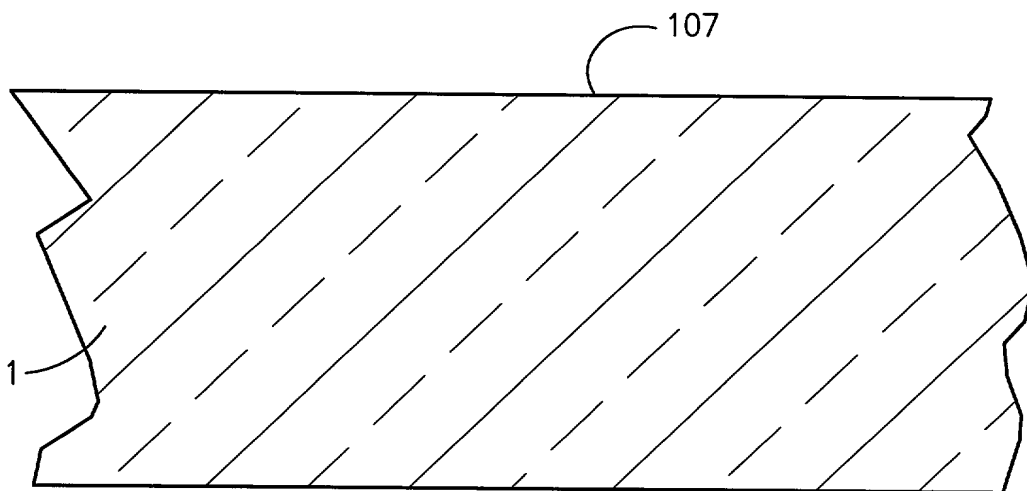


Fig. 3

3/17

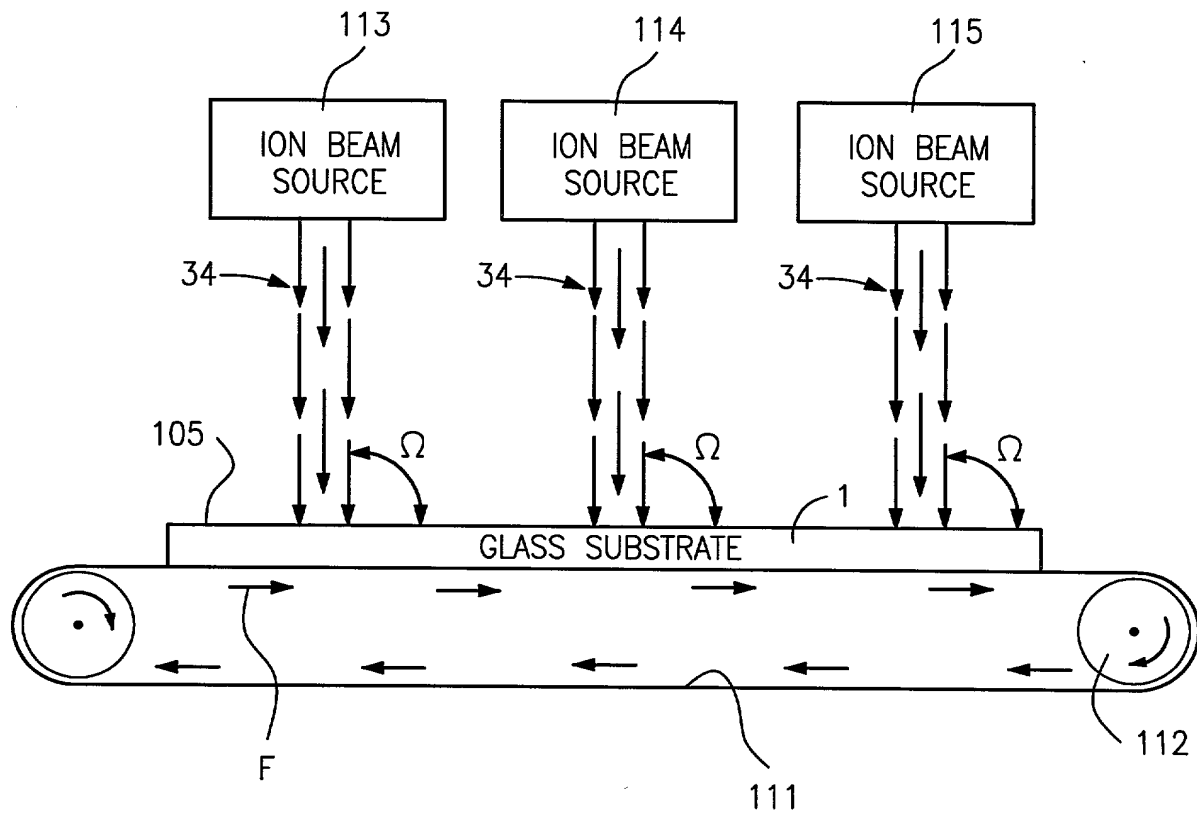


Fig. 4(a)

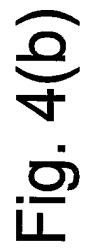


Fig. 4(b)

5/17

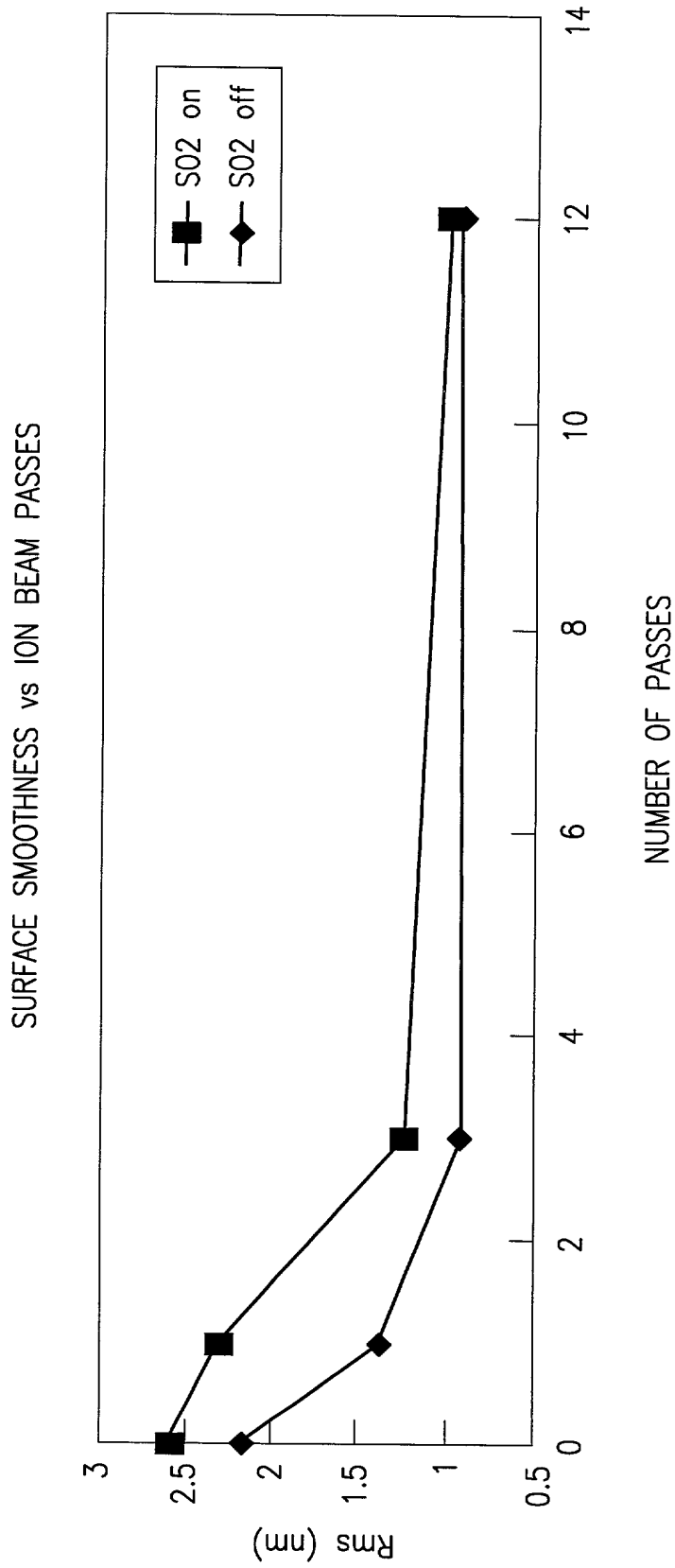


Fig. 5(a)

6/17

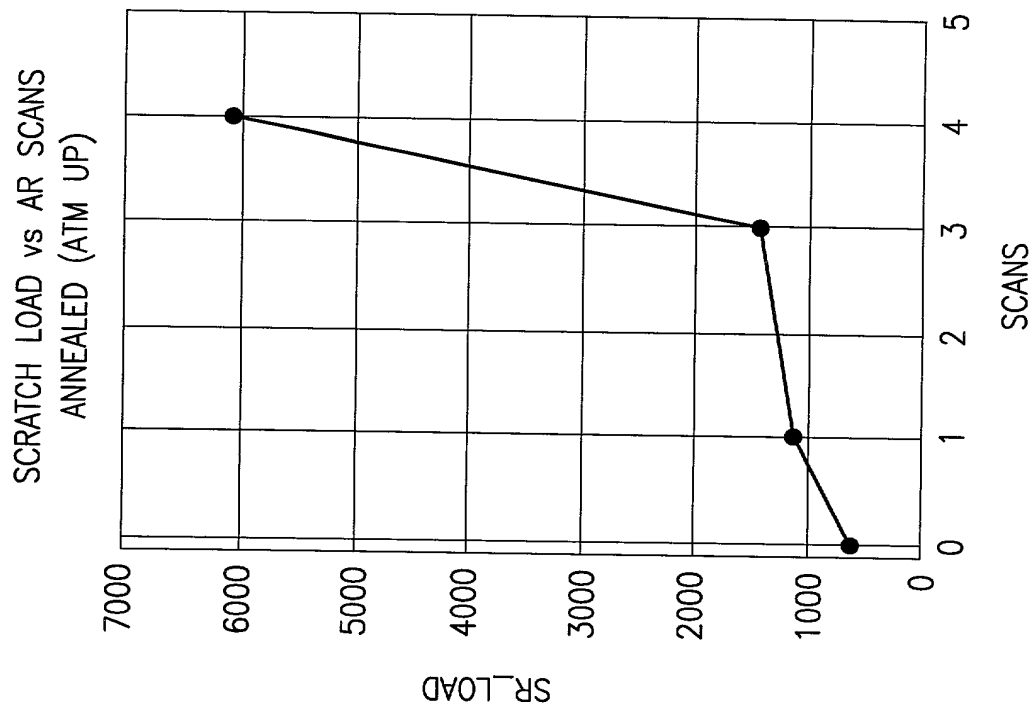


Fig. 5(c)

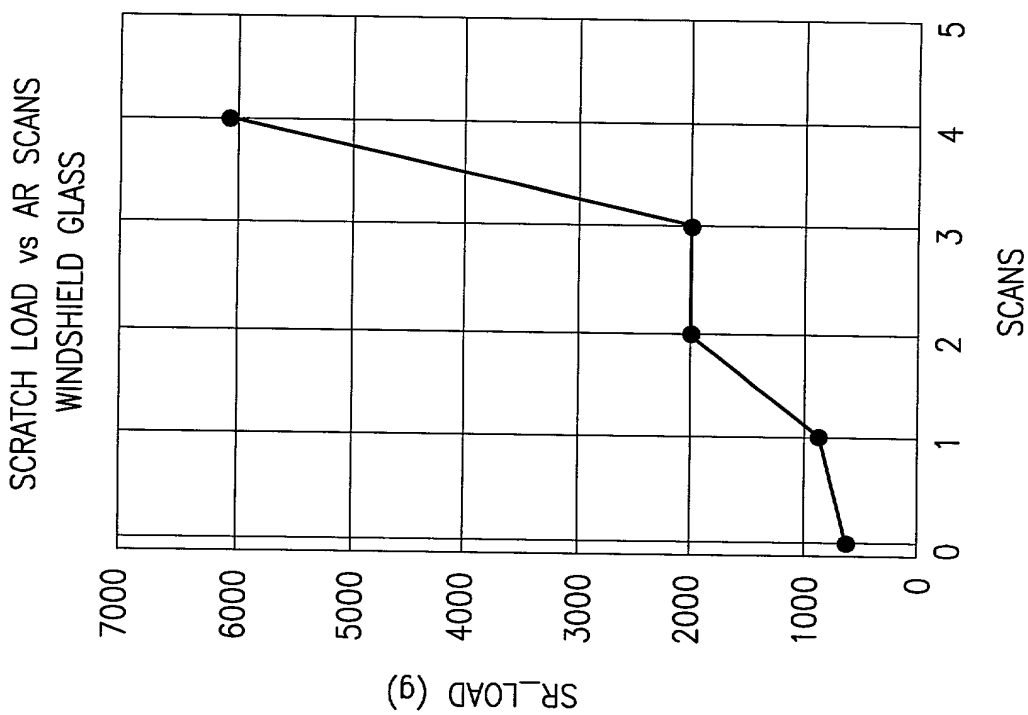


Fig. 5(b)

7/17

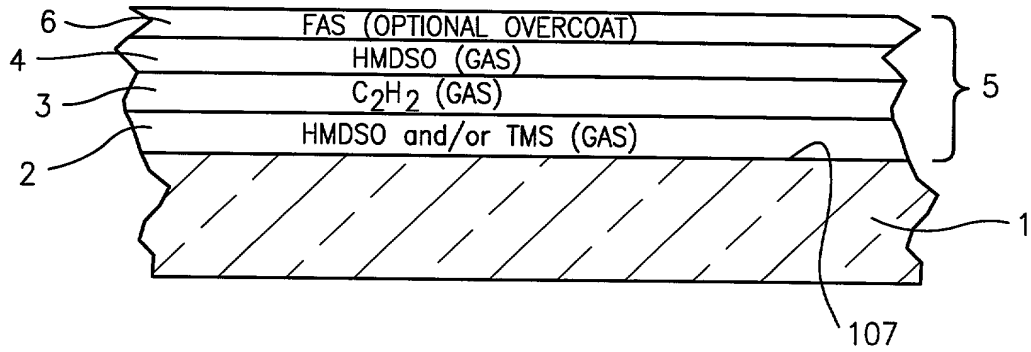


Fig. 6(a)

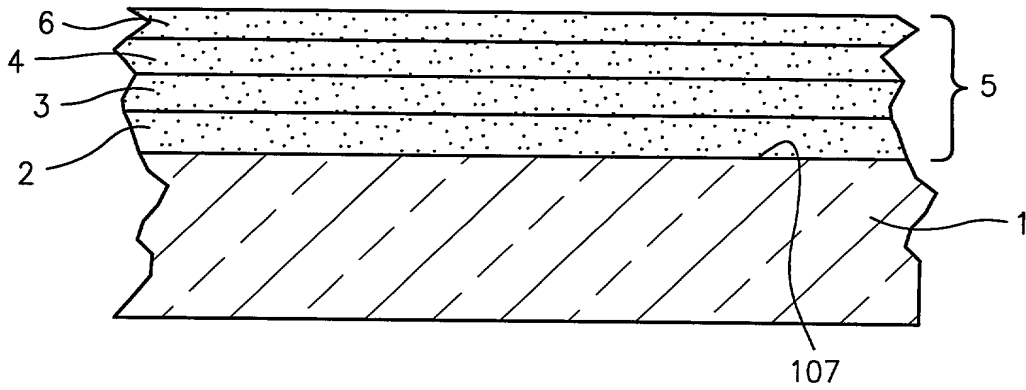


Fig. 6(b)

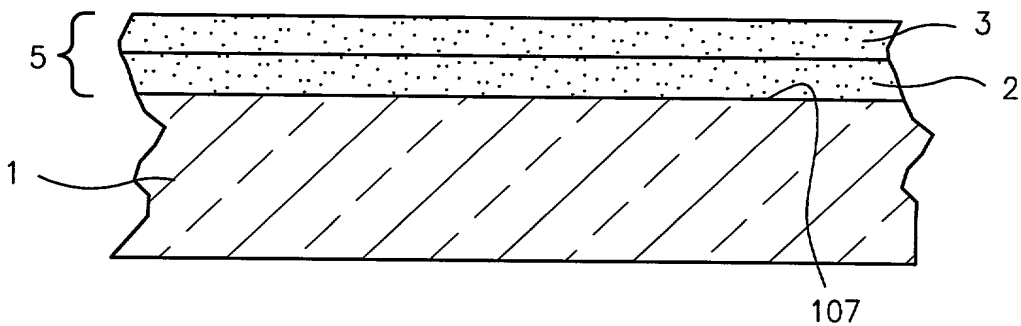


Fig. 6(c)

8/17

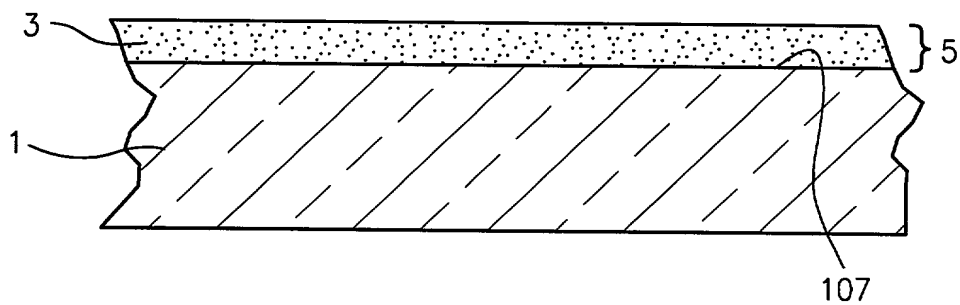


Fig. 6(d)

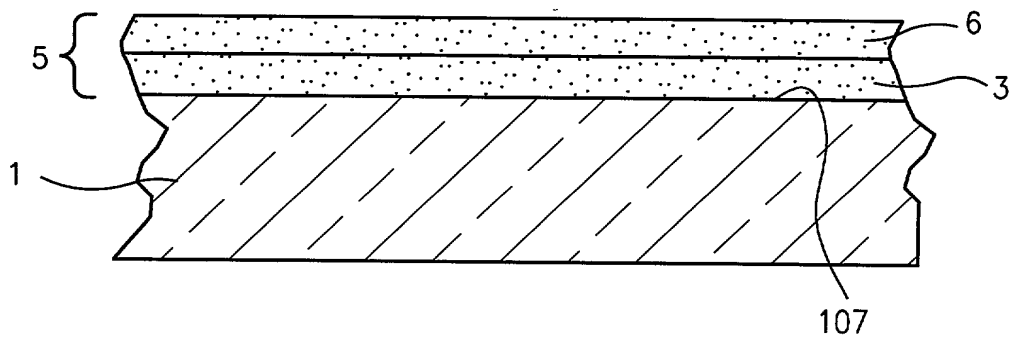


Fig. 6(e)

9/17

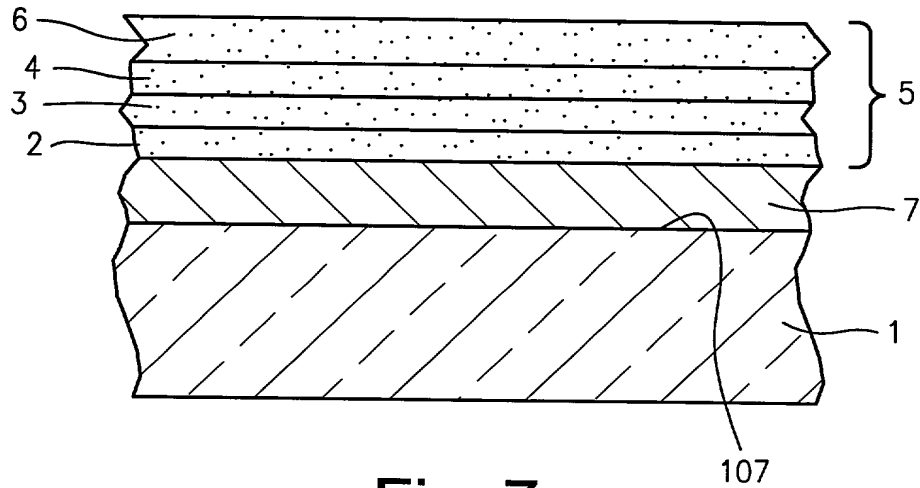


Fig. 7

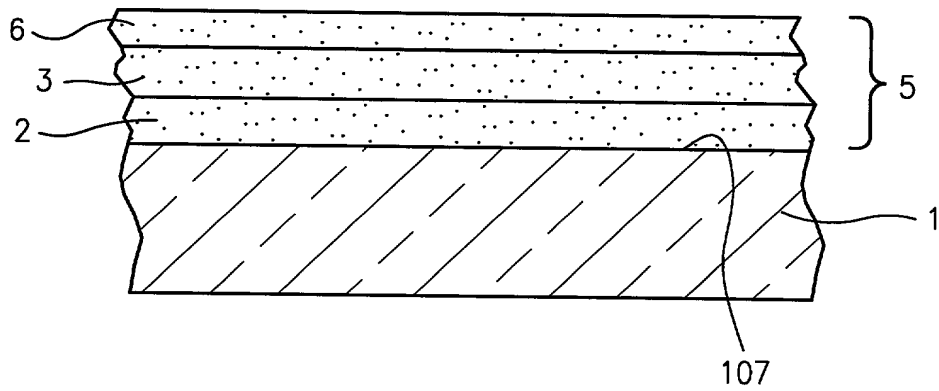


Fig. 8

10/17

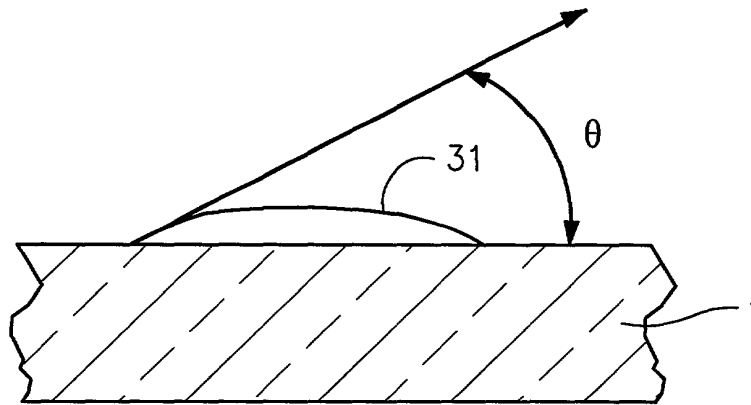


Fig. 9(a)

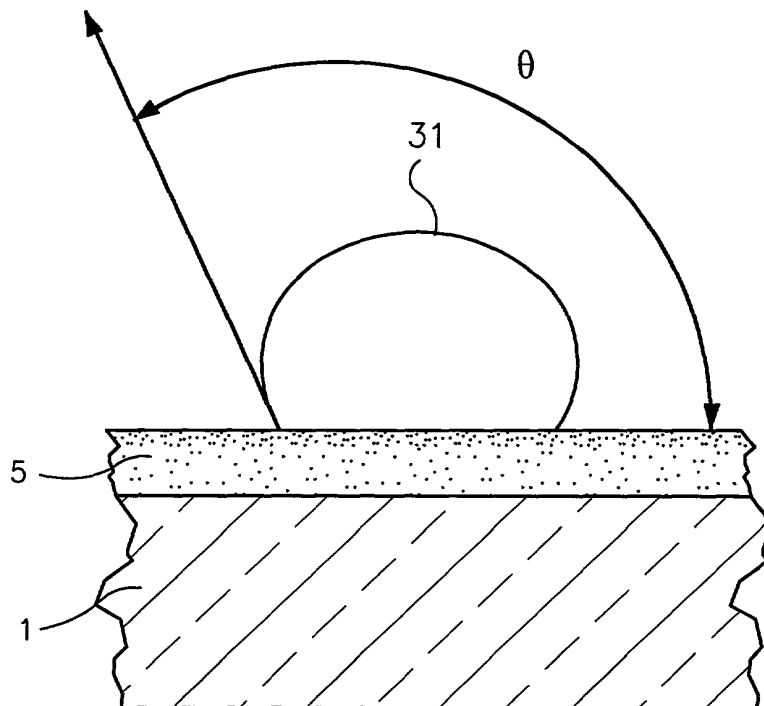


Fig. 9(b)

11/17

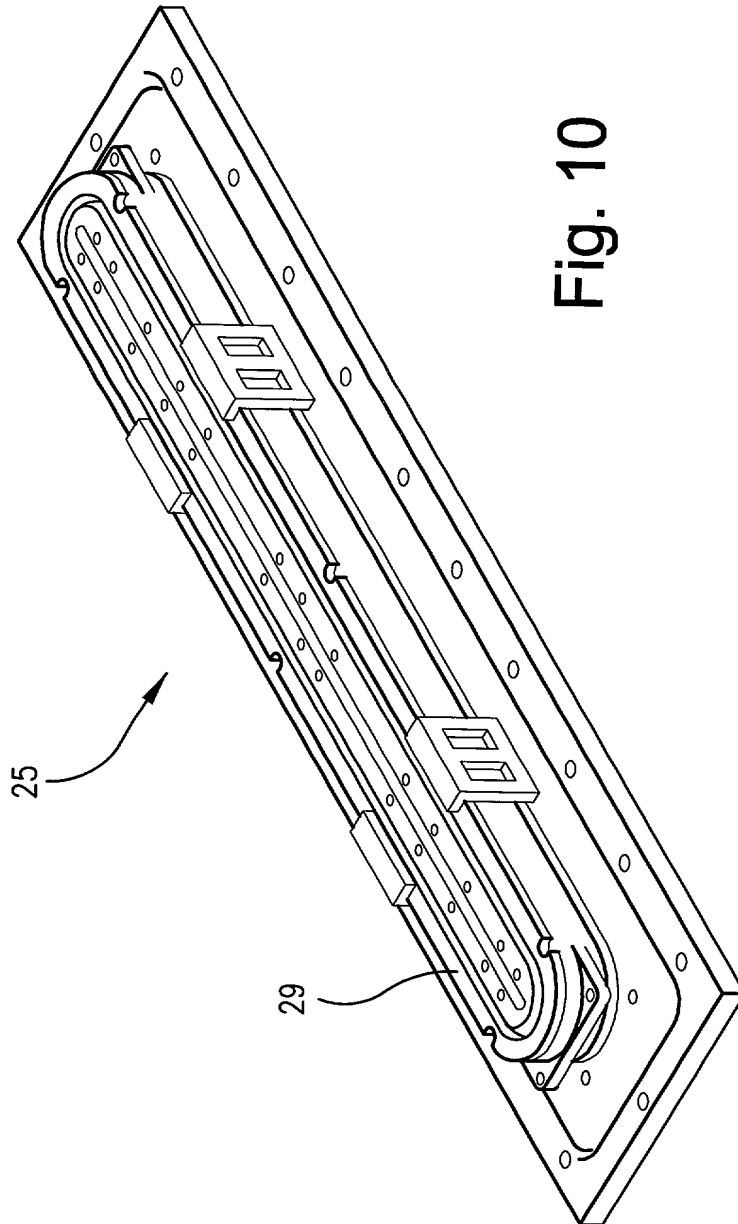


Fig. 10

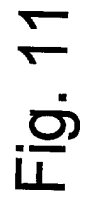


Fig. 11

13/17

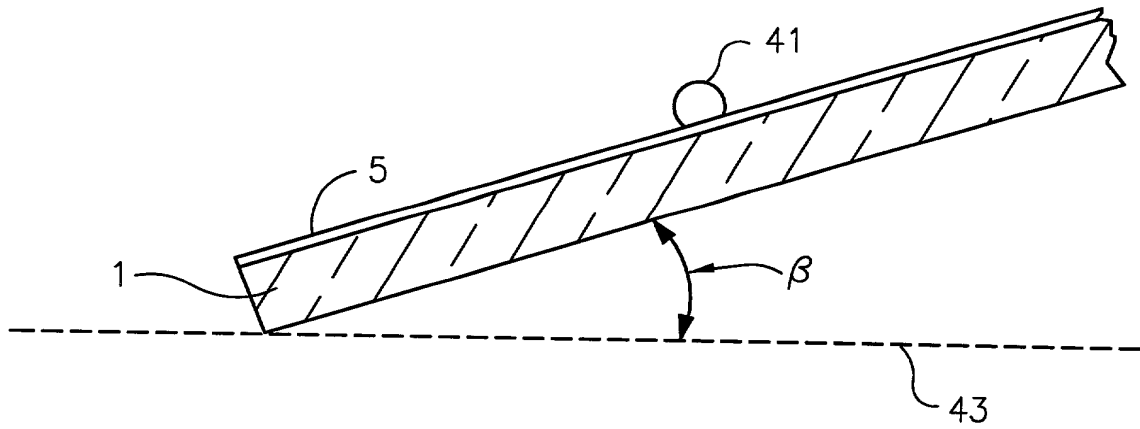


Fig. 12

14/17

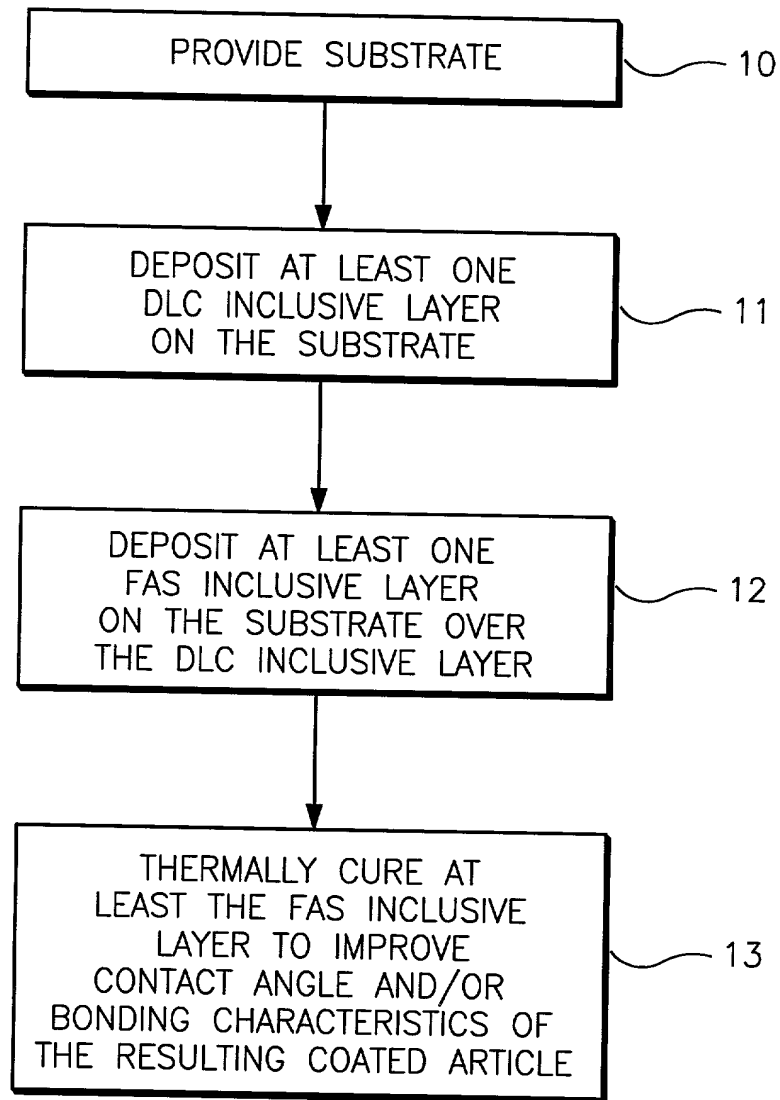


Fig. 13

15/17

HMDSO

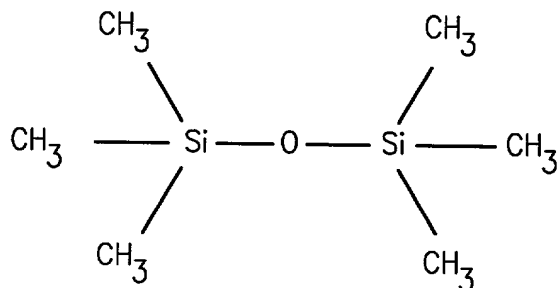


Fig. 14

DMS

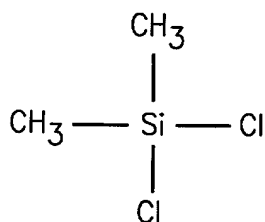


Fig. 15

TMS

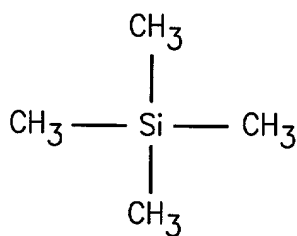


Fig. 16

3MS

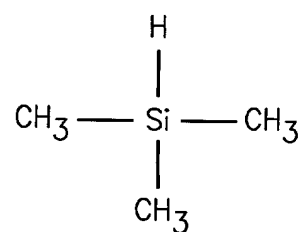


Fig. 17

OMCTS0

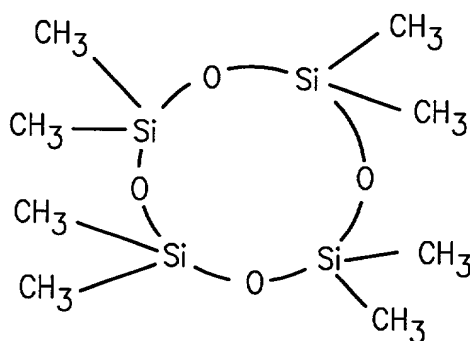


Fig. 18

16/17

TMDSO

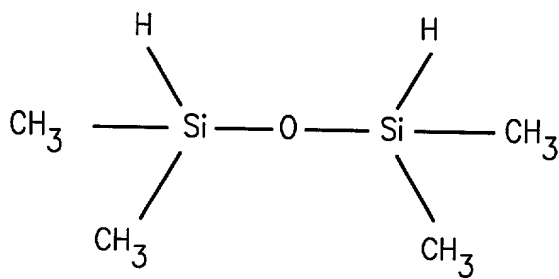


Fig. 19

TEOS

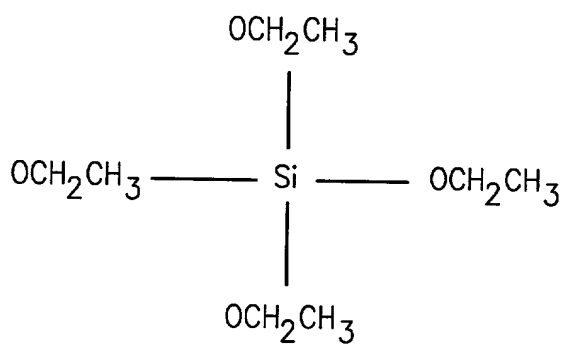


Fig. 20

17/17

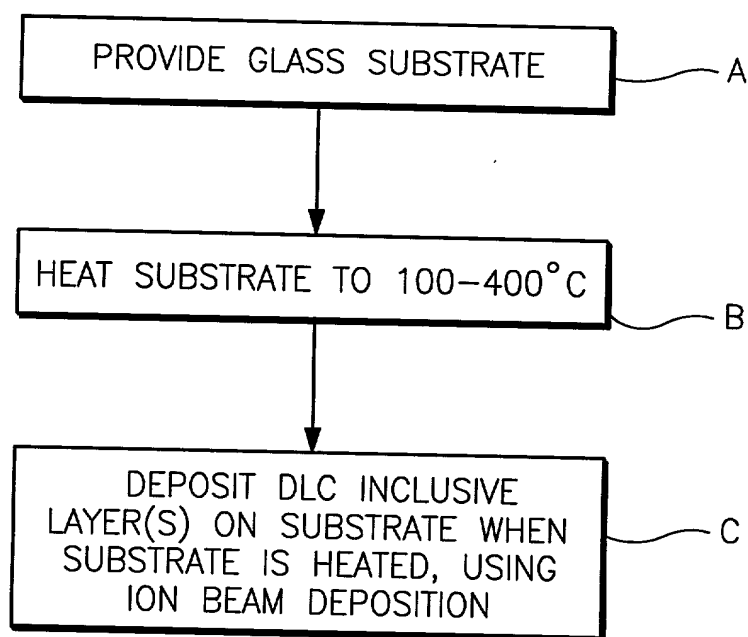


Fig. 21